

## РАСЧЕТ ЭНЕРГОПОТРЕБЛЕНИЯ ПОЗИЦИОННОГО ЭЛЕКТРОПРИВОДА, РЕАЛИЗУЮЩЕГО ОПТИМАЛЬНОЕ ПО ТЕПЛОВЫМ ПОТЕРЯМ УПРАВЛЕНИЕ

Толочко О.И., Розкаряка П.И.

Донецкий национальный технический университет

**Введение.** Задачи энергосбережения средствами электропривода становятся все более актуальными при общей тенденции роста цен на энергоносители. В позиционных электроприводах, работающих в повторно-кратковременном режиме, даже незначительное увеличение времени отработки перемещения позволяет существенно снизить величину тепловых потерь от динамической составляющей тока якоря для приводов постоянного тока или от моментобразующей составляющей тока статора в системах векторного управления приводом переменного тока [1-3]. Большое количество публикаций [4-9] посвящено вопросам рационального выбора желаемых законов изменения координат позиционных приводов и разработке алгоритмов формирования соответствующих управляющих воздействий. При сравнении различных законов управления позиционными механизмами чаще всего анализируют только величину тепловых потерь при нулевом статическом моменте  $M_c$  на валу двигателя. В работах [1, 2, 10] показано, что, наряду с тепловыми потерями, необходимо рассчитывать и анализировать еще и величину механической мощности, затрачиваемой на совершение полезной работы. Суммируя оба эти показателя, можно оценить величину энергопотребления системы и выбрать, если это позволяют технологические условия, время отработки заданного перемещения из условия минимума потребляемой электроэнергии. В [1] задача минимизации энергопотребления решена только для случая перемещения по треугольной тахограмме.

**Целью** данной работы является расчет энергопотребления позиционного электропривода постоянного тока, реализующего оптимальное по тепловым потерям управление с учетом ограничения на ускорение и (или) скорость при наличии на валу исполнительного механизма постоянного момента статического сопротивления.

**Материал и результаты исследования.** Рассмотрим диаграмму отработки перемещения (рис. 1), которую можно условно разделить на 5 участков;  $t_1$  – разгон с постоянным ускорением,  $t_2$  – разгон с линейно убывающим ускорением,  $t_3$  – движение с установившейся скоростью,  $t_4$  – торможение с линейно возрастающим ускорением,  $t_5$  – торможение с постоянным ускорением. На ней и далее в тексте обозначены:  $\epsilon$ ,  $\omega$ ,  $\varphi$  – ускорение, скорость и перемещение;  $U$ ,  $E_d$ ,  $I_a$  – напряжение, ЭДС и ток якоря двигателя;  $R_a$  – сопротивление якорной цепи;  $M_j$ ,  $I_j$ ,  $M_c$ ,  $I_c$  – динамическая и статическая составляющие момента и тока якоря;  $J$  – приведенный к валу двигателя момент инерции привода,  $t_0$  – время отработки перемещения, равное сумме времен длительности перечисленных выше участков, с учетом того, что некоторые из них могут отсутствовать).

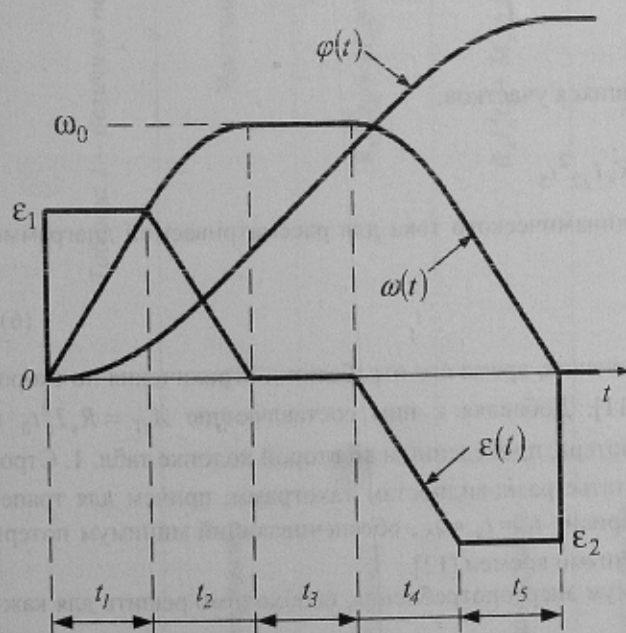


Рисунок 1 – Диаграмма отработки перемещения

Если при формировании диаграммы рис.1 учтены ограничения по скорости и ускорению (динамическому току), то  $t_2 = t_4$ ,  $t_1 = t_5$ ,  $\epsilon_1 = \epsilon_2 = \epsilon_0$  ( $I_{j1} = I_{j2} = I_{j0}$ ), и диаграмма становится симметричной.

В общем случае такая диаграмма охватывает следующие варианты тахограмм:

- треугольная – участки  $t_2$ ,  $t_3$ ,  $t_4$  отсутствуют;
- трапецидальная – отсутствуют участки  $t_2$ ,  $t_4$ ;
- параболическая без ограничений – без участков  $t_1$ ,  $t_3$ ,  $t_5$ ;
- параболическая с ограничением скорости – отсутствуют участки  $t_1$ ,  $t_5$ ;
- параболическая с ограничением тока при разгоне и торможении – без участка  $t_3$ ;
- параболическая с ограничением скорости и тока как при разгоне так и при торможении (все участки присутствуют).

Электроэнергия, потребляемая из сети

$$A = \int_0^{t_0} U(t) I_a(t) dt = A_M + A_T, \quad (1)$$

расходуется на механическую работу

$$A_M = \int_0^t E_{\text{д}}(t) I_{\text{я}}(t) dt = \int_0^t \omega(t) M(t) dt \quad (2)$$

и тепловые потери в цепи якоря (потерями в обмотке возбуждения пренебрегаем)

$$A_T = \int_0^t I_{\text{я}}^2(t) R_{\text{я}} dt. \quad (3)$$

Разложим электромагнитный момент двигателя и пропорциональный ему (при постоянном потоке возбуждения  $\Phi = \text{const}$ ) ток якоря на статическую и динамическую составляющие:  $M(t) = M_j(t) + M_c$ ,  $I_{\text{я}}(t) = I_j(t) + I_c$ .

Тогда

$$A_M = \int_0^t \omega(t) M_j(t) dt + M_c \int_0^t \omega(t) dt,$$

$$A_T = \int_0^t I_{\text{я}}^2(t) R_{\text{я}} dt = \int_0^t (I_j(t) + I_c)^2 R_{\text{я}} dt = R_{\text{я}} \left( I_c^2 t + \int_0^t I_j^2(t) dt + 2I_c \int_0^t I_j(t) dt \right).$$

Учитывая, что  $\int_0^t I_j(t) dt = \omega(t_0) = 0$ ,  $\int_0^t \omega(t) dt = \Phi$  и  $\int_0^t \omega(t) M_j(t) dt = 0$ , окончательно имеем:

$$A_M = M_c \Phi, \quad (4)$$

$$A_T = R_{\text{я}} \left( I_c^2 t + \int_0^t I_j^2(t) dt \right) = A_{cT} + A_{jT} = R_{\text{я}} I_c^2 t_0 + R_{\text{я}} \int_0^t I_j^2(t) dt. \quad (5)$$

Найдем выражения для расчета тепловых потерь электроэнергии от действия динамической составляющей тока якоря  $A_{jT_i}$  на каждом из участков диаграммы рис.1 ( $i$  – номер участка), полагая, что механическая характеристика привода является абсолютно жесткой. Для участка  $t_1$

$$A_{jT1} = R_{\text{я}} I_{j1}^2 t_1;$$

на участке  $t_2$

$$I_j(t) = I_{j1} \left( 1 - \frac{2}{t_2} t \right),$$

откуда

$$A_{jT2} = R_{\text{я}} \frac{I_{j1}^2}{3} t_2.$$

Аналогичным образом определяем  $A_{jT}$  для оставшихся участков:

$$A_{jT3} = 0; \quad A_{jT4} = R_{\text{я}} \frac{I_{j2}^2}{3} t_4; \quad A_{jT5} = R_{\text{я}} I_{j2}^2 t_5.$$

Таким образом, суммарные тепловые потери от динамического тока для рассматриваемой диаграммы составляют:

$$A_{jT} = 2R_{\text{я}} \left( I_{j0}^2 t_1 + \frac{1}{3} I_{j0}^2 t_2 \right). \quad (6)$$

Выражения для этих потерь через величину перемещения, время его отработки и ограничения по скорости и ускорению (динамическому току) выведены в [11]. Добавляя к ним составляющие  $A_{cT} = R_{\text{я}} I_c^2 t_0$  и  $A_M = M_c \Phi$ , легко переходим к выражениям для полных потерь, приведенным во второй колонке табл. 1. Строки таблицы соответствуют рассматриваемым в данной статье разновидностям тахограмм, причем для трапецидальной тахограммы ( $t_2 = t_4 = 0$ ) проанализирован вариант  $t_1 = t_3 = t_5$ , обеспечивающий минимум потерь от динамического тока по сравнению с другими соотношениями времен [12].

Для определения времени, обеспечивающего минимум энергопотребления, необходимо решить для каждой из диаграмм уравнения

$$\frac{dA}{dt_0} = 0$$

относительно времени  $t_0$ . Результаты решения приведены в третьей колонке табл. 1.

Таблица 1 – Величина потребляемой электроэнергии и время достижения минимума

Тип диаграммы	Величина потерь	Время достижения минимума
треугольная	$R_x J_c^2 t_0 + M_c \Phi + 16 R_x \frac{J^2 \Phi^2}{(k\Phi)^2} t_0^3$	$t_{0 \text{ опт}} = 4 \sqrt{\frac{48 J^2 \Phi^2}{M_c^2}}$
трапециoidalная	$R_x J_c^2 t_0 + M_c \Phi + \frac{27}{2} R_x \frac{J^2 \Phi^2}{(k\Phi)^2} t_0^3$	$t_{0 \text{ опт}} = 4 \sqrt{\frac{81 J^2 \Phi^2}{2 M_c^2}}$
параболическая без ограничений	$R_x J_c^2 t_0 + M_c \Phi + 12 R_x \frac{J^2 \Phi^2}{(k\Phi)^2} t_0^3$	$t_{0 \text{ опт}} = 4 \sqrt{\frac{36 J^2 \Phi^2}{M_c^2}}$
параболическая с ограничением тока при разгоне и торможении	$R_x J_c^2 t_0 + M_c \Phi + R_x \frac{J^2}{(k\Phi)^2} \left( \varepsilon_0^2 t_0 - \varepsilon_0 \frac{2}{3} \sqrt{3 t_0 - 12 \frac{\Phi}{\varepsilon_0}} \right)$	$t_{0 \text{ опт}} = \frac{12 \Phi J^4 \varepsilon_0^4 + 24 \Phi J^2 \varepsilon_0^2 M_c^2 + 12 \Phi M_c^4 + J^4 \varepsilon_0^5}{3 \varepsilon_0 (J^4 \varepsilon_0^4 + 2 J^2 \varepsilon_0^2 M_c^2 + M_c^4)}$
параболическая с ограничением скорости	$R_x J_c^2 t_0 + M_c \Phi + \frac{16}{9} R_x \frac{J^2}{(k\Phi)^2} \omega_0 t_0 - \Phi$	$t_{0 \text{ опт}} = \frac{3 \Phi M_c + 4 J \omega_0}{3 M_c \omega_0}$
параболическая с ограничением скорости и тока как при разгоне так и при торможении	$R_x J_c^2 t_0 + M_c \Phi + R_x \frac{J^2}{(k\Phi)^2} \left( 2 \varepsilon_0 \omega_0 - \frac{2}{3} \varepsilon_0 \sqrt{\omega_0^2 - \varepsilon_0} \left[ 4 \frac{\omega_0^2}{\varepsilon_0} - 3 \omega_0 t_0 + 3 \Phi \right] \right)$	$t_{0 \text{ опт}} = \frac{3 M_c^4 \omega_0^2 + 3 \Phi \varepsilon_0 M_c^4 + J^4 \varepsilon_0^4 \omega_0^2}{3 M_c^4 \omega_0}$

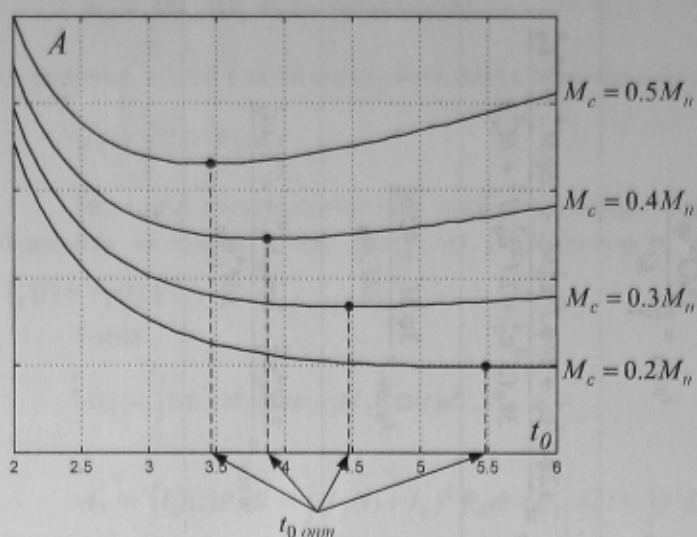


Рисунок 2 – Затраты электроэнергии от времени обработки перемещения

такой момент времени, обеспечивающий минимум потребления электроэнергии при обработке заданного перемещения, что необходимо использовать при формировании диаграмм.

#### ЛИТЕРАТУРА

1. Полилов Е.В., Зеленев А.Б., Яблонь В.П., Морозов Д.И. Энергосбережение и оптимизация потерь в позиционных электроприводах // *Электромашинобудування та електрообладнання. Тематичний випуск "Проблеми автоматизованого електропривода. Теорія і практика"*. – К.: Техніка, 2006. – С. 315-319.
2. Зеленев А.Б., Полилов Е.В., Яблонь В.П., Морозов Д.И. Энергосбережение и оптимизация потерь в позиционных электроприводах (часть 2) // *Вестник КГПУ им. М. Остроградского*. – Кременчуг: КГПУ. – Вып. 3/2007 (44), Ч2. – С. 82-87.
3. Петров Ю. П. *Оптимальное управление электроприводом*. М. – Л., Госэнергоиздат, 1961. – 187 с
4. Сапсалъв А.В., Огнянников Е.В., Давыденко О.Б. Оптимальные взаимосвязи параметров циклических электроприводов с линейной диаграммой скорости // *Электроприводы переменного тока: Труды международной четырнадцатой научно-технической конференции*. Екатеринбург: ГОУ ВПО УГТУ-УПИ, 2007, с 319-322
5. Тукалов И.О., Асмолова Л.В. Сравнительный анализ энергетических затрат при различных законах изменения скорости привода летучих ножниц // *Проблемы автоматизированного электропривода. Теория и практика: Вестник ХГПУ*. – Харьков: ХГПУ, – 2001. – №10 – с. 360-362.
6. Чермалых А.В., Данилин А.В., Прядко С.П. Сравнительный анализ диаграмм управляющих воздействий электропривода, формируемых задающими моделями // *Вісник Кременчуцького державного політехнічного університету*. – Кременчуг: КДПУ. – 2002. – №1 (12). –с. 13-17.
7. Денисова А.В., Сабинин Ю.А. Формирование задающего воздействия в позиционном электроприводе. // *Электротехника* №9 2002, с. 21-28.
8. Седов Ю.Г., Теличко Л.Я. Исследование параболического закона управления в позиционном электроприводе // *Известия вузов: Электромеханика* №4, 2004, с. 25-27.
9. Теличко Л.Я., Седов Ю.Г. Исследование косинусоидального и параболического законов позиционирования // *Известия вузов: Электромеханика* №3, 2005, с. 51-53.
10. Зеленев А.Б. *Теория электропривода Часть I: Учебн. пособ./ А.Б. Зеленев*. – Алчевск : ДГТУ, 2005. – 394 с.
11. Толочко О. И., Розкаряка П. И. Формирование оптимальных по нагреву диаграмм управления позиционным приводом с учетом ограничений на скорость и ускорение. // *Збірник наукових праць ДонДТУ. Серія: "Електротехніка і енергетика"*, вип.41 : Донецьк: ДонДТУ, 2002, с 159-163.
12. Яблонь В.П., Морозов Д.И., Полилов Е.В. Оптимизация диаграммы позиционного электропривода по минимуму потерь при неизменных динамических моментах. // *Сборник научных трудов ДГТУ*. Днепропетровск: 2007, с 205-206.

Для примера на рис. 2 приведены графики потребляемой электроэнергии в функции времени обработки перемещения  $A = f(t_0)$  при разных значениях  $I_c$  для самой простой из оптимальных по тепловым потерям диаграмм (строка 3 табл.1), подтверждающие правильность выведенных формул.

#### Выводы

1. Количество электроэнергии, расходуемой на перемещение позиционным электроприводом рабочего органа механизма с учетом величины статического момента по тахограммам, обеспечивающим оптимальное и квазиоптимальное управление по тепловым потерям можно вычислять по выведенным в данной статье формулам (табл.1)

2. Так же, как и для треугольной тахограммы, рассмотренной в работе [1], имеется